

بررسی جبهه‌ی پیش‌رونده و غلظت نهایی جریان جت سطحی در آب‌های عمیق

سمیرا سلمان‌زاده

دانشجوی کارشناسی ارشد سازه‌های آبی، دانشکده مهندسی علوم آب،
دانشگاه شهید چمران اهواز.

پست الکترونیک:

samira.salmanzade@yahoo.com

جواد احديان

دانشیار، دانشکده مهندسی علوم آب،
دانشگاه شهید چمران اهواز.

پست الکترونیک:

Ja_ahadiyan@yahoo.com

توانایی پیش‌بینی غلظت و پیشروی جبهه آلوودگی در منابع آبی پذیرنده، به خصوص در حوالی و حواشی وارد شدن به منابع آبی از نظر زیست‌محیطی، حائز اهمیت می‌باشد. از این‌رو، در این پژوهش به بررسی جبهه پیش‌رونده آلوودگی و میزان غلظت آن تحت اثر نازل تخلیه‌کننده با زوایای همگرایی متفاوت پرداخته می‌شود. برنامه‌ریزی انجام آزمایش‌های این تحقیق، تحت اثر متغیرهای هندسی و هیدرولیکی پایه‌ریزی گردید که بررسی اثر زاویه‌ی همگرایی نازل تخلیه‌کننده جریان، هدف اصلی این پژوهش می‌باشد. بررسی‌های حاصل از نتایج نشان می‌دهند که افزایش زاویه‌ی همگرایی نازل تخلیه‌کننده جریان از ۱۵ به ۹۰ درجه، تأثیر معناداری در افزایش پیشروی جبهه آلوودگی خواهد داشت. همچنین در تحلیل داده‌ها مشاهده می‌شود که با افزایش غلظت سیال چکال، میزان غلظت در طول خط مرکزی منحنی پایین‌افتادگی نسبت به غلظت اولیه ۵۲ درصد افزایش می‌یابد. در نهایت، میزان غلظت خط مرکزی فلاکس جت با افزایش زاویه‌ی همگرایی از ۱۵ به ۹۰ درجه، ۴۶ درصد افزایش می‌یابد.

وازگان کلیدی: جبهه پیش‌رونده آلوودگی، جت سطحی، زاویه‌ی همگرایی نازل، محیط پیرامون عمیق، غلظت نهایی خط مرکزی.

۱- مقدمه

مدرن را در خدمت دارند، روندی فزاینده یافته‌است. با توجه به اینکه آب، یکی از مهمترین و بنیادی‌ترین عوامل حیات موجودات زنده است، از این نظر، جلوگیری از آلوودگی آن نیز به همان نسبت، مهم و مورد توجه می‌باشد [۱].

raig ترین روش تخلیه پساب، بهویژه برای کارخانه‌ها و پرورش‌های کوچک، تخلیه توسط انواع تخلیه‌کننده‌ها و کانال‌های ساحلی در منابع آب پذیرنده می‌باشد. این روش، باعث اختلاط اولیه بسیار کمی می‌شود. همچنین منجر به افزایش غلظت در محدوده تخلیه پساب، خصوصاً به علت نیروی شناوری معکوس، در لایه‌های پایینی منبع پذیرنده می‌شود [۲].

برای افزایش راندمان اختلاط می‌توان از انواع جت‌ها استفاده نمود. بدیهی است که با افزایش سرعت جریان جت، اختلاط افزایش می‌یابد. جریان جت‌های متلاطم

امروزه آلوودگی‌های محیطی بهویژه آلوودگی آب به اشکال مختلف، در نتیجه پیشرفت تکنولوژی و بالا رفتن استانداردهای زندگی، در حال افزایش است. از آنجاکه آلینده‌ها در ارتباط با مسائل زیست‌محیطی مشکلاتی را موجب می‌گردند و شرایط مطلوب را برای زندگی، نامطلوب می‌گردانند، این مسئله توجه بسیاری از دانشمندان و سیاستمداران را به خود جلب نموده است. میزان آلوودگی‌های صنعتی، کشاورزی و خانگی در جوامع پیشرفت‌بهشتی در نتیجه فعالیت‌های انسانی که تکنولوژی

* نویسنده مسئول

تاریخ: دریافت ۱۳۹۴/۰۹/۱۷، بازنگری ۱۳۹۶/۰۱/۲۱، پذیرش ۱۳۹۶/۰۲/۰۹.

(DOI): 10.22091/cer.2017.509.1018

سرعت، کاهش دما در طول خط مرکزی جت، نسبت رقیق‌شدگی و اختلاف فشار هسته جت با محیط پیرامون اشاره نمود. این محققین دریافتند که موقعیت سرعت خط مرکزی به صورت تدریجی تغییر می‌نماید [۹]. پالومار، لارا و لوسادا^۶، به بررسی و اندازه‌گیری شرایط هیدرولیکی جت، با جریان همسو با شدت کم پرداخته و مدل انتگرالی را برای پیش‌بینی خصوصیات جریان ارائه داده‌اند. آزمایش‌های انجام گرفته توسط آنها برای اندازه‌گیری تراژکتوری با عدد فرود چگال برابر ۵ و سرعت سیال پذیرنده برابر ۸ میلیمتر بر ثانیه بوده است. در نهایت، محققین بیان می‌کنند مدل انتگرالی معرفی شده، برای سرعت‌های صفر تا ۸/۷ میلیمتر بر ثانیه، پیش‌بینی خوبی از روند جریان داشته است [۱۰]. بیسالدوچ^۷ و همکاران، ناحیه نزدیک‌شونده در جریان جت چگال منفی را مورد بررسی قرار دادند. این محققین جریان خروجی از جت مایل را بررسی کرده و با سیستم پردازش تصویر، توزیع سرعت را در ناحیه نزدیک جت بررسی نمودند. نتایج آنها نشان داد که ناحیه نزدیک و دور جت بر یکدیگر تأثیر بسزایی داشته و تحلیل پخشیدگی جت را تنها براساس ناحیه نزدیک جت نمی‌توان تشریح نمود [۱۱]. خیرخواه‌گیله و همکاران، به بررسی دیواره جت‌های شناور تحت شرایط مستغرق پرداختند و تأثیر میانگین عدد رینولدز و ناویراستوکس در مدل‌های متلاطم را مورد بررسی قرار دادند [۱۲]. دستغیب، موسوی جهرمی و نوروزپور، به پیش‌بینی مشخصات هیدرولیکی جت شناور دایره‌ای با استفاده از شبکه‌های مصنوعی انسیس (ANN^۸) و انفیس (ANFIS^۹) پرداختند. داده‌های آزمایشگاهی با نتایج تحلیلی شبکه‌های مصنوعی مقایسه گردید. بررسی‌ها نشان داد که شبکه‌ی مصنوعی ANFIS نتایج بهتری نسبت به ANN ارائه می‌دهد [۱۳]. اخیراً

نوعی از جریانات آشفته هستند که براساس نیروهای مومنتوم و شناوری ارزیابی می‌شوند. جریان جت معمولاً توسط یک منبع مداوم و تحت تأثیر نیروهای مومنتوم انتشار می‌یابد [۳].

دویت، ون‌ری و کیتلز^۱، تحقیقاتی بر مبنای تعامل جت‌های متلاطم در حالت جریان متقطع پایه‌گذاری نمودند. نتایج آنها نشان داد که میانگین سرعت افقی جریان جت شناور در نازل جت، بزرگ‌تر از سرعت عرضی جریان (متقطع) بوده که برای حالت عمیق، قوی‌تر می‌باشد [۴]. اولیور، دیویدسون و نوکز^۲، تراژکتوری و میانگین رقت خط مرکزی جت شناور منفی را با استفاده از لیزر و سیستم فلورسنس در نقطه شیرجه بررسی نمودند. آنها به این نتیجه رسیدند که ارتفاع نازل جت و زاویه‌ی همگرایی می‌تواند جریان مرزی را تحت تأثیر قرار دهد [۷-۵]. عابسی و روبرتز^۳، به بررسی اثر جهت‌گیری نازل جت چگال در محیط‌های راکد پرداختند. آنها آزمایش‌های خود را برای جهت‌گیری افقی نازل برای زوایای ۱۵-۸۵ درجه نسبت به افق برنامه‌ریزی نمودند. محققین نتیجه گرفتند که اختلاط در میان لایه‌های بالایی نقطه برخورد اتفاق می‌افتد. بنابراین به زاویه نازل وابسته بوده و بیشینه غلظت در نقطه تأثیر در زوایای ۴۵-۶۵ درجه اتفاق می‌افتد. همچنین غلظت در ناحیه نزدیک جت^۴ بیشتر نسبت به جهت‌گیری نازل، وابسته است و برای زوایای بالاتر از ۶۰ درجه کاملاً با پیش‌بینی‌ها مطابقت دارد [۸]. مینگوان^۵ و همکاران، خصوصیات جت مستغرق با درجه حرارت متفاوت نسبت به منبع پذیرنده را با استفاده از تکنیک‌های عددی بررسی کردند. این محققین، قوانین جریان توسعه‌یافته در جت‌های مستغرق را تحلیل نموده و با نتایج سایر محققین مقایسه نمودند. از جمله پارامترهای مورد مقایسه آنها می‌توان به توزیع

¹- Dewit, Van Rhee and Keetels

²- Oliver, Davidson and Nokes

³- Abessi and Roberts

⁴- Near- field

⁵- Minguan

⁶- Palomar, Lara and Losada

⁷- Besalduch

⁸- Artificial Neural Network

⁹- Adaptive Neuro- Fuzzy Inference Systems

طبق مروری بر مطالعات انجام شده، مسأله تخلیه جریان‌های چگال، پساب‌ها و فاضلاب‌های سنگین از نظر محیط‌زیستی دارای اهمیت می‌باشدند. کاهش اثرات مخرب انواع آلایینده‌ها در هنگام تخلیه و همچنین کاهش آلودگی سواحل، مسأله‌ای مهم تلقی می‌شود. از این‌رو، در این پژوهش به بررسی این مهم پرداخته شده است. طبق مروری بر تحقیقات گذشته، بررسی همزمان جبهه پیش‌رونده جریان جت چگال و غلظت نهایی این جبهه تحت اثر نازل تخلیه‌کننده جریان صورت نپذیرفته است. بنابراین در مقاله حاضر، این بررسی در آب‌های عمیق تحت شرایط هندسی و هیدرولیکی متفاوت انجام گرفته است. تفاوت این پژوهش با سایر مطالعات انجام گرفته، در شیوه و نحوه تخلیه جریان جت چگال می‌باشد. در این پژوهش، جریان خروجی به صورت کاملاً مماس بر سطح محیط پذیرنده تخلیه می‌شود. همچنین از نازل‌های دایره‌ای با قطرهای مختلف جهت تخلیه جریان چگال استفاده شده است. با توجه به کمبود پژوهش‌های جامع در این زمینه و همچنین اهمیت موضوع و تحقق این اهداف، در پژوهش حاضر به بررسی این موضوعات پرداخته شده است. از این‌رو، با استفاده از مدل فیزیکی ساخته شده در آزمایشگاه هیدرولیک، جریان جت سطحی تحت اثر متغیرها و آزمایش‌های متعددی که برنامه‌ریزی شده است، بررسی شده و در انتهای به تحلیل آماری پرداخته می‌شود. همچنین صحبت‌سنگی نتایج حاصل با استفاده مدل فیزیکی ارزیابی می‌گردد.

۲- مواد و روش‌ها

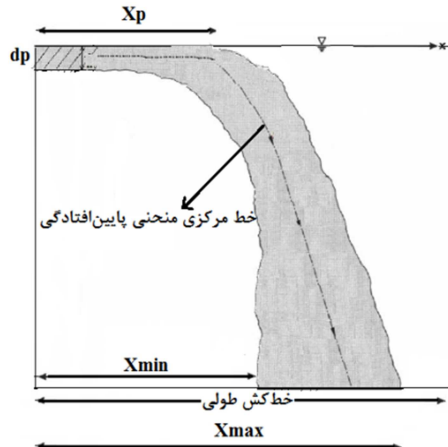
با توجه به اهداف مدنظر در تحقیق حاضر جهت بررسی جبهه پیش‌رونده جریان جت سطحی تحت تأثیر زاویه‌ی همگرایی نازل تخلیه‌کننده جریان، اقدام به برنامه‌ریزی آزمایشگاهی گردید. براین‌اساس، در این بخش، پارامترهای حاکم بر حرکت جریان جت سطحی به صورت بدون بعد ارائه می‌شود. شکل ۱ پارامترهای مؤثر

سلمان‌زاده و احديان، به بررسی پراکنش حدی جریان جت خروجی در محیط هم‌فاز و غیره‌م‌فاز پرداختند. نتایج بررسی‌ها نشان می‌دهد که توسعه‌ی محدوده پیشروی جریان جت در محیط غیره‌م‌فاز تا حدود ۲۰۰ برابر قطر نازل است که در محیط هم‌فاز چنین توسعه‌ای از جریان تا ۴۰۰ برابر قطر نازل روی می‌دهد. بررسی‌های محققان نشان می‌دهد که در غلظت‌های بیشتر از ۴۰ تا ۵۰ گرم بر لیتر اثر محیط پذیرنده‌ی غیره‌م‌فاز در توسعه‌ی جریان جت بسیار بیشتر از اثر محیط پذیرنده‌ی هم‌فاز است [۱۴]. سعیدی، عابسی و علی‌آبادی‌فرهانی، به پیش‌بینی رژیم‌های حاکم بر جریان تخلیه سطحی فاضلاب چگال در مقایسه با نتایج مدل شبیه‌ساز گُرمیکس پرداختند. تخلیه فاضلاب‌های سنگین تولیدی در مناطق ساحلی در دریا از طریق کانال‌های ساحلی، روشی متدائل در دفع این پساب‌ها در محیط‌زیست محسوب می‌گردد. جریان‌های تخلیه‌ای بسته به شرایط تخلیه و محیط پذیرنده، الگوهای متفاوتی خواهند یافت. در این تحقیق، سه الگوی جریان جت آزاد، جت چسبیده به کرانه و پلوم که در مطالعه‌های آزمایشگاهی و میدانی مختلف گزارش گردیده، در نظر گرفته شده است. گُرمیکس یک مدل شبیه‌ساز رایانه‌ای است که برای مدل‌سازی اختلاط فاضلاب‌های چگال در تخلیه جریان به پیکره‌های آبی توسعه داده شده است. این مدل، برای تعیین الگوی حرکتی جریان در تخلیه سطحی از مبانی مربوط به فاضلاب‌های شناور بهره می‌گیرد. الگوهای جریان استخراج شده از اجرای مدل گُرمیکس و مشاهدات آزمایشگاهی هریک جداگانه در قالب یک نمودار بی‌بعد که محورهای افقی و قائم آن در برگیرنده مجموع شرایط آزمایش‌اند، توسعه داده شد و محدوده وقوع هر الگو تعیین گردید [۱۵].

۲- تحلیل ابعادی

در شکل ۱ محور y مختصاتی منطبق بر محل جت و مبدأ مختصات در راستای محور جت و منطبق بر کف فلوم آزمایشگاهی در نظر گرفته شده است.

در جریان جت سطحی که در این پژوهش بررسی و اندازه‌گیری شده‌اند را نشان می‌دهد. این پارامترها شامل X_p ، موقعیت نقطه شیرجه، X_{\max} ، طول نهایی مرز بالایی تراژکتوری و X_{\min} ، طول نهایی مرز پایینی تراژکتوری می‌باشد.



شکل ۱- نمایش منحنی پایین افتادگی جریان جت سطحی به همراه پارامترهای مربوطه.

طول نهایی مرز بالایی تراژکتوری، X_{\max} ، طول نهایی مرز پایینی تراژکتوری، X_{\min} ، جرم حجمی سیال جت، ρ ، شتاب ثقل، g ، زاویه‌ی همگرایی برای نازل جت، θ_c ، غلظت اولیه سیال جت، C_m ، غلظت خط مرکزی منحنی پایین افتادگی در مکان‌های مختلف از جت، S ، کشش سطحی محیط پذیرنده، μ ، سرعت اولیه‌ی ورودی و x و y ، مختصات طولی و ارتفاعی جریان جت می‌باشند.

با توجه به پارامترهای حاکم بر پدیده جریان جت و به منظور دستیابی به روابط حاکم به صورت عبارات بدون بعد در این تحقیق، اقدام به آنالیز ابعادی بین پارامترهای مؤثر در این پدیده گردید. پارامترهای مؤثر در حرکت سیال جت در سیال پذیرنده را می‌توان به صورت رابطه (۱) بیان نمود. در این رابطه، ρ_a ، جرم حجمی سیال پذیرنده، d_p ، لزجت مطلق اولیه سیال جت، قطر جت، X_p ، حد انتهای پیشروی افقی خط مرکزی جریان جت نسبت به محل خروج یا موقعیت نقطه شیرجه،

$$f(\rho_a, \mu_j, d_p, X_p, X_{\max}, X_{\min}, \rho_j, g, \theta_c, C_0, C_m, \sigma, u_0, x, y) = 0 \quad (1)$$

کلی مرز پایینی، پارامتر هفتم، زاویه‌ی همگرایی جت، پارامتر هشتم، نسبت غلظت خط مرکزی تراژکتوری در مکان‌های مختلف از محل جت به غلظت اولیه (غلظت نهایی) و پارامتر نهم، محدوده پیشروی جریان جت می‌باشد. با توجه به این روابط در کلیه آزمایش‌های انجام شده، پارامترهای مختلف در روابط بدون بعد، اندازه‌گیری و مقادیر آنها محاسبه گردید.

در نهایت با تلفیق پارامترهای بدون بعد در رابطه (۲)، پارامترهای بدون بعد اصلی و مؤثر حاکم بر پدیده جریان جت، که در این پژوهش مورد بررسی قرار می‌گیرند، حاصل گردید. در رابطه (۲)، پارامتر اول، عدد رینولدز فلاکس ورودی، پارامتر دوم، عدد فرود چگال جریان جت، پارامتر سوم، عدد وبر پیش‌رونده، پارامتر چهارم، نسبت طولی پیش‌رونده افقی، پارامتر پنجم، نسبت طول کلی مرز بالایی، پارامتر ششم، نسبت طول

$$f\left(\frac{\rho_j \cdot u_0 \cdot d_p}{\mu_j}, \frac{u_0}{\sqrt{\left(\frac{\Delta \rho}{\rho_a} \cdot g \cdot d_p\right)}}, \frac{\rho_j \cdot u_0^2 \cdot X_p}{\sigma}, \frac{X_p}{d_p}, \frac{X_{max}}{d_p}, \frac{X_{min}}{d_p}, \theta_c, \frac{C_m}{C_0}, \frac{x}{d_p}\right) = 0 \quad (2)$$

برای اندازه‌گیری دبی جریان جت از دبی سنج دقیق با دقیقه ۰/۲ درصد، جهت تعیین هدایت الکتریکی آب^{۱۰} و دمای لحظه‌ای آب‌نمک مخزن تزریق و آب‌فلوم از دستگاه هدایت‌سنج الکتریکی^{۱۱} دیجیتالی پرتابل با دقیقه ۰/۱ میکروزیمنس بر سانتی‌متر استفاده گردید. از طرفی، به صورت عمودی به فاصله هر ۱۵ سانتی‌متر یک خط‌کش دقیق با دقیقه ۱ میلی‌متر و به ارتفاع ۱ متر، همچنین خط‌کش‌های طولی چاپ شده بر روی کاغذ روغنی شفاف بر روی دیواره‌ی فلوم چسبانیده شد. در طی انجام آزمایش‌ها سیال پذیرنده از طریق مخزن تأمین و پمپ، به فلوم منتقل می‌شد و تا ارتفاع معلومی فلوم را پر می‌نمود. جریان جت نیز از طریق مخزن تزریق و پمپ مربوطه و پس از آن از طریق نازل‌های دایره‌ای جت، بر روی سطح سیال پذیرنده (آب زلال) موجود در فلوم آزمایشگاهی تخلیه می‌شد. مخزن تزریق جریان جت نیز به صورت مکعب‌مستطیل ساخته شد و با توجه به حجم مزبور، میزان مشخصی از نمک به مخزن تزریق انتقال داده می‌شد. جهت مشخص نمودن مسیر حرکت جریان آب‌نمک در سیال پذیرنده، از ماده‌ی رنگی حلال در آب استفاده شد. دانسیته سیال جت از طریق محاسباتی با روش شناوری و اندازه‌گیری آزمایشگاهی با استفاده از هیدرومتر دقیق H151 استاندارد شده در یک دمای مشخص محاسبه و برداشت می‌شد. پس از شکل‌گیری منحنی پایین‌افتادگی، داده‌برداری با قرائت از روی خط‌کش‌های نصب شده بر روی فلوم انجام می‌گردید و به صورت همزمان با دوربین^{۱۲} مدل ۵۰SX عکس‌برداری صورت پذیرفت.

¹⁰- Electrical Conductivity (EC)

¹¹- Electrical Conductivity meter (EC meter)

¹²- Canon

لازم به توضیح است که برنامه‌ریزی آزمایش‌ها به گونه‌ای انجام شد که در تمامی آنها عدد رینولدز جریان جت در محدوده جریان متلاطم قرار گیرد که کمینه مقدار آن ۳۴۸۳/۰۵ بود. بنابراین، در ارائه نتایج از عدد رینولدز صرف نظر شده است.

۲-۲- برنامه‌ریزی آزمایش‌ها

برنامه‌ریزی انجام آزمایش‌های این تحقیق بدین صورت پایه‌ریزی شد که کلیه آنها در سه قطر ۵، ۸ و ۱۵ میلی‌متر برای زوایای همگرایی ۱۵، ۳۰، ۶۰ و ۹۰ درجه اقدام به بررسی پراکنش حدود و تعیین غلظت خط مرکزی منحنی پایین‌افتادگی برای سه غلظت ۱۵، ۳۰ و ۶۰ گرم بر لیتر (سیال آب نمک) انجام گردید.

۳-۲- مدل آزمایشگاهی

در این مرحله با توجه به اهداف پژوهش، اقدام به استفاده از مدل فیزیکی موجود در آزمایشگاه هیدرولیک دانشگاه شهید چمران اهواز گردید. بخش‌های مختلف این مدل فیزیکی را می‌توان در بندهای زیر خلاصه نمود:

- ۱- مخزن تأمین آب و پمپ انتقال آب به فلوم آزمایش‌ها.

- ۲- مخزن تزریق جت و پمپ اختلاط به منظور همگن نمودن سیال جت.

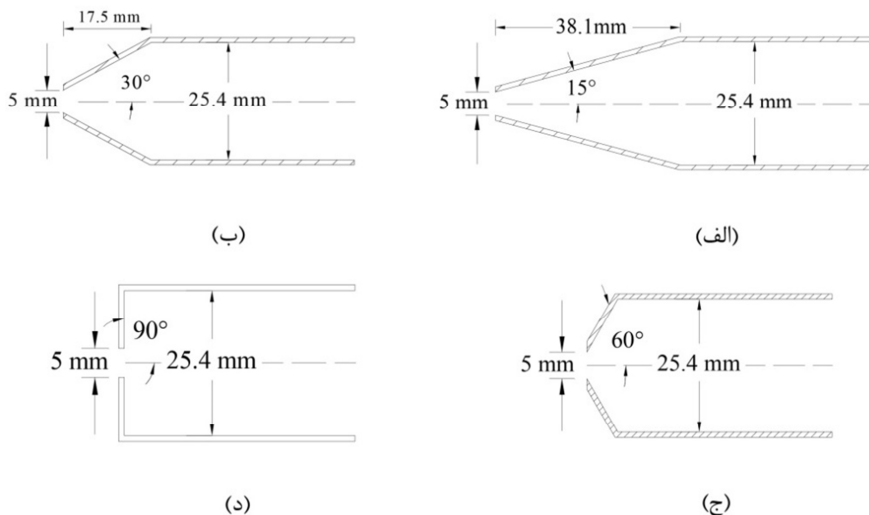
- ۳- فلوم آزمایش‌ها و پمپ تزریق جت.

- ۴- لوله انتقال سیال از مخزن تزریق به جت.

- ۵- خروجی فلوم آزمایش‌ها و تجهیزات مربوطه.

- ۶- تهیه جت با زاویه همگرایی مختلف در قطر اولیه ۵، ۸ و ۱۵ میلی‌متر.

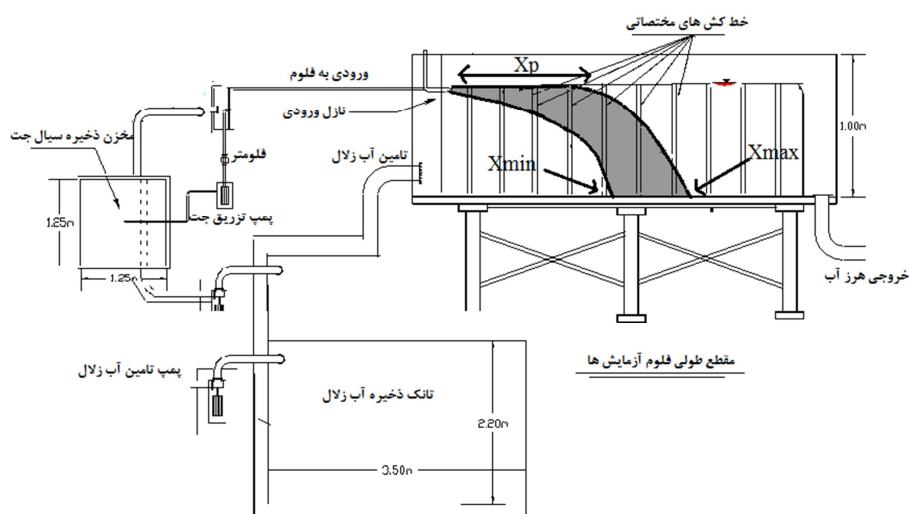
در شکل ۲ نمونه‌ای از نازل‌های تخلیه‌کننده‌ی جریان با زوایای همگرایی مختلف نشان داده شده است.



شکل ۲- نمایش جت ۵ میلیمتر با زاویه‌های همگرایی مختلف. (الف) ۱۵، (ب) ۳۰، (ج) ۶۰ و (د) ۹۰ درجه.

۳ مدل آزمایشگاهی جریان جت و فلوم در محیط پذیرنده نشان داده شده است.

جهت اطمینان و کنترل از قرائت صحیح خطکش‌های نصب شده بر روی فلوم، مجدداً داده‌ها با تصاویر ضبط شده توسط دوربین مقایسه گردید. در شکل



شکل ۳- مدل آزمایشگاهی جریان جت سطحی و فلوم در محیط پذیرنده.

سپس تأثیر زاویه‌ی همگرایی بر میزان غلظت جریان جت سطحی پیش‌رونده مورد ارزیابی قرار می‌گیرد.

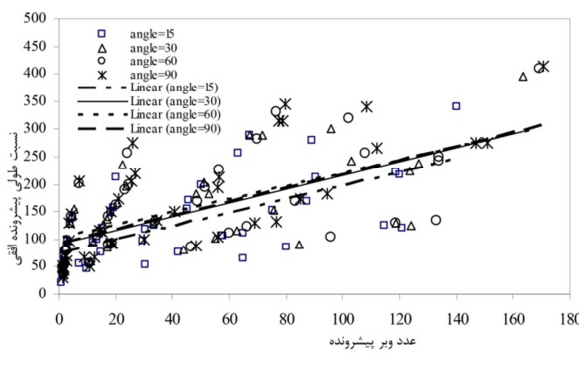
۱-۳- بررسی موقعیت نقطه‌ی شیرجه تحت اثر زاویه‌ی همگرایی

موقعیت نقطه‌ی شیرجه یکی از پارامترهای مهم در مسائل زیستمحیطی است؛ چراکه، این بخش از منحنی پایین‌افتادگی، باعث پیشروی بیشتر جریان جت شده و

۳- نتایج و بحث

طبق اهداف ذکر شده در این مقاله که بررسی جبهه‌ی پیش‌رونده و غلظت نهایی جریان جت سطحی در آب‌های عمیق می‌باشد، ابتدا به بررسی اثر زاویه‌ی همگرایی نازل تخلیه‌کننده جریان بر میزان پیشروی جت سطحی تخلیه‌شونده در محیط عمیق پرداخته می‌شود.

پذيرنده صورت پذيرفته است، کشش سطحي محيط پذيرنده (آب زلال) بر پيشروي فلاکس جت مؤثر می باشد. در شكل ۴-الف و ۴-ب تغييرات موقعيت نقطه شيرجه با توجه به عدد فرود چگال و عدد وبر پيشروندۀ در زوايای همگرائي مختلف نشان داده شده است. در شكل ۴-ب هدف، نشان دادن وابستگي حرکت جريان جت سطحي به نيووهای چسبندگی در سياال پذيرنده و ويژگی های محيط است.

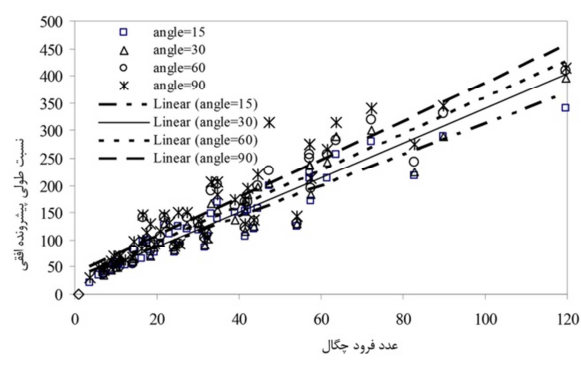


(ب)

شکل ۴- تغييرات موقعيت نقطه شيرجه تحت اثر زاويه همگرائي نازل (الف) عدد فرود چگال و (ب) عدد وبر پيشروندۀ در زوايای همگرائي ۱۵، ۳۰، ۶۰ و ۹۰ درجه.

سياال جت قبل از تزريق، در يك لوله با سطح بزرگتری در ارتباط بوده و با نزديک شدن به مقطع خروجي نازل، مومنتوم که عامل اصلی پيشروي جريان است، افزايش می يابد. به عبارت ديگر، افزايش زاويه همگرائي باعث ايجاد شوك بيشرter به جريان ورودی به سياال پذيرنده می گردد. به گونه ای که در زاويه ۹۰ درجه اين پدیده به صورت کاملا ناگهانی اتفاق می افتد. همين امر سبب پيشروي جبهه جريان گردیده و در نهايیت منحنی پايان افتادگی با طی مسافت طولاني تری نسبت به نازل تخلیه کننده سقوط می نماید. خطوط برآش داده شده در شکل ۴، روند تغييرات طول های پيشروندۀ تحت اثر زاويه همگرائي را نشان می دهد. با کاهش زاويه همگرائي روند پيشروي طول های مورد بررسی با شيب کمتری ادامه می يابد. به عبارتی در يك عدد فرود چگال مساوی، با افزايش زاويه همگرائي، طول های پيشروي فزوني می يابند.

سبب دورشدن جبهه آلدگی از منبع تخلیه شونده می گردد، که در مسئله آلدگی سواحل حائز اهمیت می باشد. اين پارامتر در تحقیق حاضر با X_p نمایش داده شده است و تحت تأثير زاويه همگرائي نازل مورد بررسی قرار می گيرد. برای دستیابی به این موضوع، تغييرات موقعيت شيرجه نسبت به اعداد فرود چگال و عدد وبر پيشروندۀ بررسی می گردد. از آنجاکه اين تخلیه، چگال و به صورت کاملا سطحي و مماس بر روی سطح سياال



(الف)

شکل ۴ و جدول ۱ ارتباط بين پيشروي افقی جريان جت یا همان پيشروي موقعيت شيرجه را نسبت به زاويه همگرائي نازل تخلیه کننده جريان نشان می دهد. مطابق با نتایج حاصل شده در خصوص توسعه منحنی های پايان افتادگی در جريان پذيرنده، مشاهده شده است که با افزايش زاويه همگرائي و در عدد های فرود چگال يکسان، ميزان پيشروي جبهه جريان افزايش می يابد. دليل اين امر را می توان در مومنتوم اوليه ورودی جريان جت جست و جو نمود. هرچه زاويه همگرائي بزرگتر باشد، جريان جت با نيروي بيشرter به جريان پذيرنده وارد می شود. اين پدیده در تمامی آزمایش های انجام شده، مشاهده گردید؛ به طوري که، در تمامی غلظتها، دبي های اوليه و قطرهاي مورد آزمایش با افزايش زاويه همگرائي توسعه منحنی پايان افتادگی در جريان پذيرنده، افزايش می يافتد. افزايش زاويه همگرائي نازل تخلیه کننده به اين معنا می باشد که

موقعیت نقطه شیرجه (X_p) در حدود ۴۱ درصد افزایش می‌یابد. جدول ۱ موقعیت نقطه شیرجه در اعداد فرود چگال بکسان در زوایای همگرایی مختلف را نشان می‌دهد.

زاویه‌ی همگرایی باعث توسعه پیشروی بیشتر جریان در محیط پذیرنده می‌گردد و محدوده پیشروی جریان جت با طی کردن با فاصله بیشتری نسبت به نازل خروجی از آن دور می‌گردد. در نهایت، تحلیل نتایج نشان می‌دهد که به‌طور میانگین، با افزایش زاویه‌ی همگرایی،

جدول ۱- مقادیر نسبت طولی پیش‌رونده افقی (X_p/d_p) با در نظر گرفتن اعداد فرود و زاویه‌ی همگرایی.

۹۰	۶۰	۳۰	۱۵	زاویه (درجه) عدد فرود
۱۲۸/۷۵	۷۸/۷۵	۷۰	۶۸/۷۵	۱۸/۵
۲۰۶	۲۰۲	۱۵۶	۱۴۰	۳۴/۹
۲۷۶	۲۵۶	۲۳۶	۲۱۴	۵۷/۳
۳۱۴	۲۹۶	۲۹۰	۲۵۶	۶۳/۶
۳۴۰	۳۲۰	۳۰۰	۲۸۰	۷۲/۲
۳۴۴	۳۳۰	۳۳۰	۲۹۰	۸۹/۸
۴۱۴	۴۱۰	۳۹۶	۳۴۰	۱۱۹/۷

همچنین موقعیت نقطه شیرجه در زاویه ۹۰ درجه حداکثر می‌باشد.

در شکل ۵، وابستگی پیشروی حدود بالا و پایین نسبت به زاویه‌ی همگرایی نازل نشان داده شده است و کلیه داده‌ها در برابر عدد فرود چگال رسم شده است. با توجه به شکل، مشاهده می‌شود میزان پیشروی حدود با افزایش عدد فرود چگال افزایش می‌یابد. با افزایش عدد فرود چگال تغییرات سرعت در واحد طول افزایش یافته و باعث توسعه بیشتر فلاکس جت می‌شود. براساس شکل ۵، با افزایش زاویه‌ی همگرایی نازل تخلیه کننده جریان جت سطحی، به‌طور میانگین برای هر چهار زاویه، حد بالا (X_{\max}) ۴۰ درصد و حد پایین (X_{\min}) ۴۵ درصد افزایش می‌یابد.

۳-۳- اختلاط و غلظت نهایی منحنی سقوط جریان جت سطحی تحت اثر زاویه‌ی همگرایی

در این بخش، نتایج مشاهدات آزمایشگاهی انجام شده به منظور بررسی اختلاط و غلظت نهایی جریان چگال تخلیه شده توسط جت سطحی دایره‌ای تحت اثر

۲-۳- بررسی پراکنش حددهای بالا و پایین تحت اثر زاویه‌ی همگرایی

بررسی پراکنش حددهای بالا و پایین از نظر حفظ محیط‌زیست بستر منابع آبی، حائز اهمیت می‌باشد. بیشینه طول مرز پایینی (X_{\min}) به عنوان اولین و بیشینه طول مرز بالایی (X_{\max}) به عنوان آخرین نقطه‌ای که جریان چگال با بستر برخورد می‌نماید، در نظر گرفته می‌شود. حیات بسیاری از موجودات کفرزی در اقیانوس‌ها و دریاها با خطر برخورد آلاینده‌ها به کف مواجه است. از این‌رو، پیش‌بینی اولین و آخرین محل برخورد آلاینده با کف منابع آبی اهمیت پیدا می‌کند. در این تحقیق بیشینه طول‌های مرز بالایی و پایینی تحت تأثیر زاویه‌ی همگرایی مورد بررسی قرار می‌گیرد. با توجه به اطلاعات موجود در جدول ۲ و ۳ و همچنین شکل ۵، با افزایش زاویه‌ی همگرایی نازل تخلیه کننده جریان، میزان پیشروی حدود بالا و پایین در منحنی پایین‌افتادگی جبهه پیشروه در جریان افزایش می‌یابد. به‌گونه‌ای که بیشینه طول پیشروی در منحنی پایین‌افتادگی برای حدود بالا، پایین و

صورت پذیرفت. در تخلیه سطحی جریان چگال، جریان خروجی تحت تأثیر دو نیروی افقی مومنتوم و نیروی شناوری در محیط پذیرنده پیش روی می‌نماید.

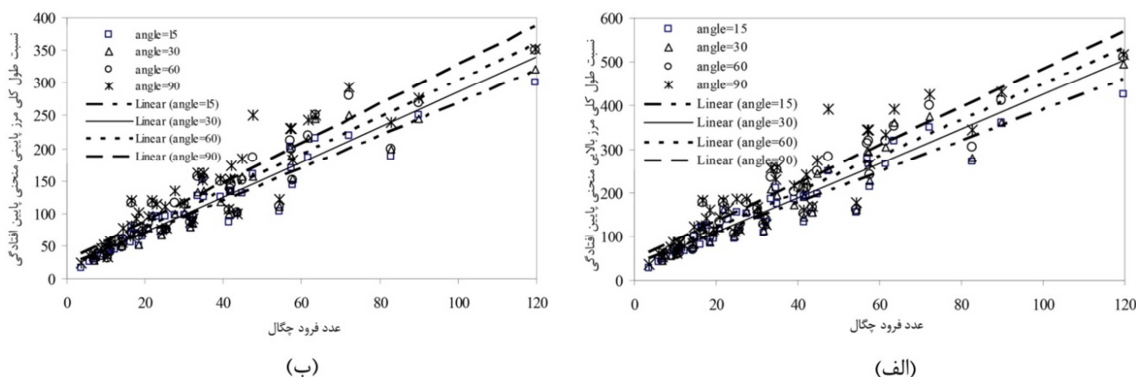
زاویه‌ی همگرایی ارائه می‌گردد. اندازه‌گیری غلظت خط مرکزی جریان در طول منحنی پایین افتادگی از طریق EC متر دقیق دیجیتالی و ارتباط میزان شوری با غلظت

جدول ۲- مقادیر نسبت طول کلی مرز بالای منحنی پایین افتادگی (X_{\max}/d_p) با در نظر گرفتن اعداد فرود و زاویه‌ی همگرایی.

۹۰	۶۰	۳۰	۱۵	زاویه (درجه) عدد فرود
۱۶۰/۹	۹۸/۴	۸۷/۵	۸۶	۱۸/۵
۲۵۷/۵	۲۵۲/۵	۱۹۵	۱۷۵	۳۴/۹
۳۴۵	۳۲۰	۲۹۵	۲۶۷/۵	۵۷/۳
۴۲۵	۳۵۲/۵	۳۶۲/۵	۳۲۰	۶۳/۶
۴۲۵	۴۰۰	۳۷۵	۳۵۰	۷۲/۲
۴۳۰	۴۱۲/۵	۳۶۲/۵	۳۶۲/۵	۸۹/۸
۵۱۷/۵	۵۱۲/۵	۴۹۵	۴۲۵	۱۱۹/۷

جدول ۳- مقادیر نسبت طول کلی مرز پایینی منحنی پایین افتادگی (X_{\min}/d_p) با در نظر گرفتن اعداد فرود و زاویه‌ی همگرایی.

۹۰	۶۰	۳۰	۱۵	زاویه (درجه) عدد فرود
۱۰۱/۲۵	۶۵	۵۱/۲۵	۵۰	۱۸/۵
۱۶۲	۱۵۴	۱۳۴	۱۲۶	۳۴/۹
۲۳۰	۲۰۰	۱۸۸	۱۷۰	۵۷/۳
۲۵۰	۲۵۰	۲۴۶	۲۱۶	۶۳/۶
۲۹۴	۲۷۰	۲۵۰	۲۲۰	۷۲/۲
۲۷۶	۲۸۰	۲۴۶	۲۵۰	۸۹/۸
۳۵۲	۳۵۰	۳۲۰	۳۰۰	۱۱۹/۷



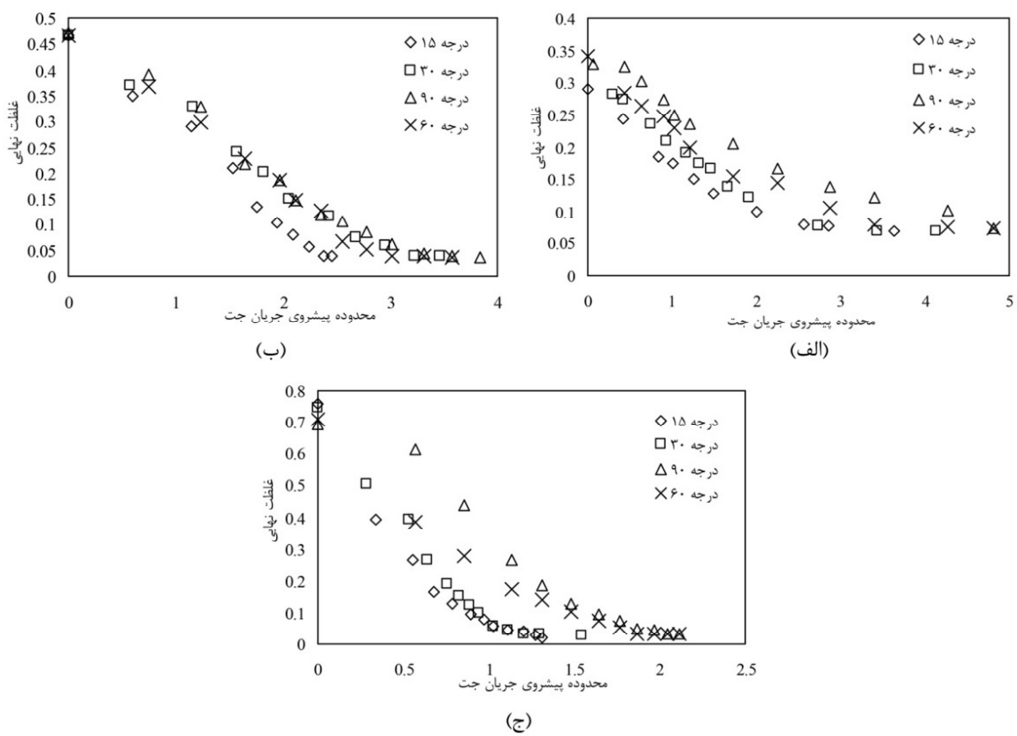
شکل ۵- تغییرات حدود تحت اثر زاویه‌ی همگرایی نسبت به عدد فرود چگال در زوایای همگرایی ۱۵، ۳۰، ۶۰ و ۹۰ درجه. (الف) حد بالایی و (ب) حد پایینی.

این نیرو، سرعت پیش روی جریان جت کاهش می‌یابد. در این شرایط، نیروی شناوری بر نیروی مومنتوم غلبه نموده، جریان، ارتباط خود را با سطح آزاد آب از دست داده و

در بخش ابتدایی مسیر، به دلیل سرعت ناشی از نیروی مومنتوم، حرکت جریان به صورت افقی و در مجاورت با سطح آب خواهد بود. به تدریج با کم شدن اثر

به تدریج با افزایش نیروی شناوری منحنی سقوط کرده و سبب پخشیدگی جریان شده که موجب می‌گردد غلظت خط مرکزی منحنی، کاهش یافته و در نهایت برای هر چهار زاویه، در نقطه برشورد باست، میزان غلظت یکسان گردیده و به غلظت آب شرب که نقش سیال پذیرنده را به عهده دارد، نزدیک می‌شود. در قسمت‌های مختلف این شکل، مقایسه‌ی سه غلظت ۱۵، ۳۰ و ۶۰ کیلوگرم بر مترمکعب برای زوایای ۱۵، ۳۰ و ۹۰ درجه با دبی ۰/۰۳۷۸ مترمکعب بر ثانیه رسم شده است. تحلیل داده‌های آزمایشگاهی نشان داد که با افزایش غلظت سیال چگال از ۱۵ به ۶۰ گرم بر لیتر، میزان غلظت در طول خط مرکزی منحنی پایین‌افتادگی نسبت به غلظت اولیه ۵۲ درصد افزایش می‌یابد. در نهایت، میزان غلظت خط مرکزی فلاکس جت با افزایش زاویه‌ی همگرایی از ۱۵ به ۹۰ درجه، ۴۶ درصد افزایش می‌یابد.

جریان به صورت مستغرق تغییرشکل می‌یابد. با افزایش زاویه نازل جت، نیروی مومنتوم که سبب پیشروی جریان می‌گردد، افزایش می‌یابد. این افزایش سرعت، جریان جت را تنها به جلو می‌راند و فرصت پخشیدگی و جابه‌جایی ذرات نمک با مولکول‌های سیال پذیرنده که آب شرب می‌باشد را نمی‌دهد. شکل ۶ نشان‌دهنده این موضوع می‌باشد. در شکل ۶، پروفیلهای غلظت برای زاویه‌های ۱۵، ۳۰، ۶۰ و ۹۰ درجه برای غلظت‌های ۱۵، ۳۰ و ۶۰ کیلوگرم بر مترمکعب رسم شده است. همانطور که در این شکل دیده می‌شود، زاویه‌ی ۹۰ درجه بیشترین غلظت را دارا می‌باشد. در این زاویه میزان مومنتوم خطوط جریان به دلیل وارد شدن شوک ناگهانی در زاویه‌ی همگرایی حداکثر می‌باشد و همین عامل سبب می‌شود که در شرایط یکسان برای هر سه زاویه، غلظت خط مرکزی نسبت به غلظت اولیه در زاویه ۹۰ درجه بیشترین باشد.



شکل ۶- پیشروی جبهه‌ی جریان چگال تحت تأثیر زاویه‌ی همگرایی در غلظت‌های (الف) ۱۵، (ب) ۳۰ و (ج) ۶۰ کیلوگرم بر مترمکعب.

غلظت اولیه سیال جت بیشتر باشد، منحنی پایین‌افتادگی چگال‌تر و سنتگین‌تر خواهد بود و در مقایسه با حالتی که غلظت اولیه سیال جت کمتر است، محدوده پیشروی جریان جت کمتر می‌باشد و منحنی پایین‌افتادگی سریع‌تر

جدول ۴ نمونه‌ای از پارامترهای اندازه‌گیری شده در آزمایش‌ها را نشان می‌دهد. در این جدول، میزان غلظت در محدوده پیشروی جت موجود می‌باشد. با توجه به اطلاعات موجود در جدول، مشاهده می‌شود که هرچه

پیدا می‌کند تا بتواند با سیال پذیرنده مخلوط شود و از غلظت آن کاسته شود. هرچه این محدوده پیشروی بیشتر باشد، فرصت بیشتری برای مخلوط و ترکیب شدن با سیال پذیرنده حاصل می‌گردد.

سقوط می‌نماید. همچنین با پیشروی بیشتر محدوده جت، میزان غلظت خط مرکزی منحنی پایین‌افتادگی کاهش می‌یابد. به عبارت دیگر، زمانی که فلاکس جت در حال طی کردن مسیر خود در سیال پذیرنده می‌باشد این فرصت را

جدول ۴- تغییرات غلظت خط مرکزی جریان در محدوده‌های مختلف x/d_p در زوایای ۱۵، ۳۰، ۶۰ و ۹۰ درجه.

ب- غلظت اولیه، ۳۰ کیلوگرم بر مترمکعب					
۴-۵	۳-۴	۲-۳	۱-۲	۰-۱	x/d_p محدوده زاویه (درجه)
-	-	۰/۰۵	۰/۱۹	۰/۴	۱۵
-	۰/۰۳۸	۰/۱	۰/۲۵	۰/۴۲	۳۰
-	۰/۰۳۸	۰/۱۳	۰/۲۵	۰/۴۳	۶۰
-	۰/۰۴	۰/۱۵	۰/۲۶	۰/۴۳	۹۰

الف- غلظت اولیه، ۱۵ کیلوگرم بر مترمکعب					
۴-۵	۳-۴	۲-۳	۱-۲	۰-۱	x/d_p محدوده زاویه (درجه)
-	۰/۰۶	۰/۰۶	۰/۰۸	۰/۱۴	۱۵
۰/۰۷	۰/۰۷	۰/۰۷	۰/۱۶	۰/۲۵	۳۰
۰/۰۸	۰/۰۸	۰/۱۳	۰/۱۹	۰/۲۸	۶۰
۰/۰۸	۰/۱۲	۰/۱۵	۰/۲۳	۰/۳۱	۹۰

ج- غلظت اولیه، ۶۰ کیلوگرم بر مترمکعب					
۴-۵	۳-۴	۲-۳	۱-۲	۰-۱	x/d_p محدوده زاویه (درجه)
-	-	-	۰/۰۴	۰/۲۷	۱۵
-	-	-	۰/۰۷	۰/۳۲	۳۰
-	-	۰/۰۲	۰/۰۷	۰/۴۵	۶۰
-	-	۰/۰۳	۰/۲۱	۰/۵۱	۹۰

میانگین مربعات ($RMSE^{14}$) خطای هریک از معادلات یاد شده برآورد گردید. با توجه به اینکه ضریب رگرسیون (R^2) به تنها یک معیار مناسبی برای دقت مربوط به معادلات نمی‌باشد، یکی از روش‌های متداول جهت برآورد دقت یک معادله، روش ریشه متوسط مجددات مجموع خطاهای می‌باشد. جدول ۶، برای هریک از معادلات نتیجه‌گیری شده دقت مربوطه را براساس ۲۰ درصد داده‌هایی که در استخراج مدل آماری نقشی نداشته‌اند، نشان می‌دهد. از طرفی، در این تحقیق با استفاده از مدل‌های آماری بسط داده شده برای هر آزمایش با توجه به روابط (۳) تا (۶)، مقادیر X_{max}/d_p ، X_p/d_p ، C_m/C_0 و

برای مشخص نمودن رابطه بین پارامترها از نرم‌افزار آماری ^{۱۳} SPSS بهره گرفته شد؛ به گونه‌ای که روش‌های مختلف خطی و غیرخطی مورد آزمون آماری با پارامترهای وابسته قرار گرفت و نهایتاً مدل زیر برای پارامترها استخراج شد.

در جدول ۵، بهترین ضرایب a, b, c, d با استفاده از نرم‌افزار آماری SPSS به روش رگرسیون غیرخطی برای ۸۰ درصد داده‌ها استخراج شدند. براساس ضرایب محاسبه شده برای مدل‌های آماری، خصوصیات مهم توسعه جریان جت در سیال پذیرنده، اقدام به برآورد دقت آنها گردید. در این راستا با استفاده از روش ریشه‌ی خطای جذر

¹⁴- Root Mean Summation of Square Error (RMSE)¹³-Statistical Package for Social Science

حالت، نمایه‌ای از میزان دقت هریک از مدل‌های آماری محسوبه و در مقابل مقادیر اندازه‌گیری شده متناظر آنها ترسیم گردید. ضریب رگرسیون نیز در این خواهد بود.

جدول ۵- تخمین ضرایب پارامترهای بدون بعد.

C_m/C_0	X_p/d_p	X_{\min}/d_p	X_{\max}/d_p	پارامتر
-۰/۱۸۸	۴۷/۷۶۵	۴۰/۳۲۳	۵۹/۰۷۱	a
/۱۷۲	-۱/۲۳۱	-۴/۱۶۴	-۱/۲۵۸	b
۰/۴۵	۰/۱۷	۴/۳۹۷	۴/۳۱۲	c
۰/۱۲۱	-۶/۷۱۲	-۱۳/۱۸۸	-۷/۰۸۱	d

$$\frac{X_{\max}}{d_p} = a\sqrt{Wb_F} + b\sqrt{Fr_d} + c\sqrt{\theta} + d \quad R^2 = 0.936 \quad (۳)$$

$$\frac{X_{\min}}{d_p} = a\sqrt{Wb_F} + b\sqrt{Fr_d} + c\sqrt{\theta} + d \quad R^2 = 0.903 \quad (۴)$$

$$\frac{X_p}{d_p} = a\sqrt{Wb_F} + bFr_d + c\theta + d \quad R^2 = 0.956 \quad (۵)$$

$$\frac{C_m}{C_0} = a\ln(\frac{x}{d_p}) + b(\theta^c) + d \quad R^2 = 0.82 \quad (۶)$$

جدول ۶- برآورد دقت مدل‌های آماری با معیار RMSE

$\frac{C_m}{C_0}$	$\frac{X_p}{d_p}$	$\frac{X_{\min}}{d_p}$	$\frac{X_{\max}}{d_p}$	پارامتر
۳۸/۵	۴۴/۶	۴۱/۸	۴۳	RMSE
۰/۰۸	۵۳۰/۴	۱۹۱۷/۷	۱۹۹۰/۹	MSE
۸۱	۸۶	۸۳	۸۴	دقت (درصد)
۱۹	۱۴	۱۷	۱۶	خطا (درصد)

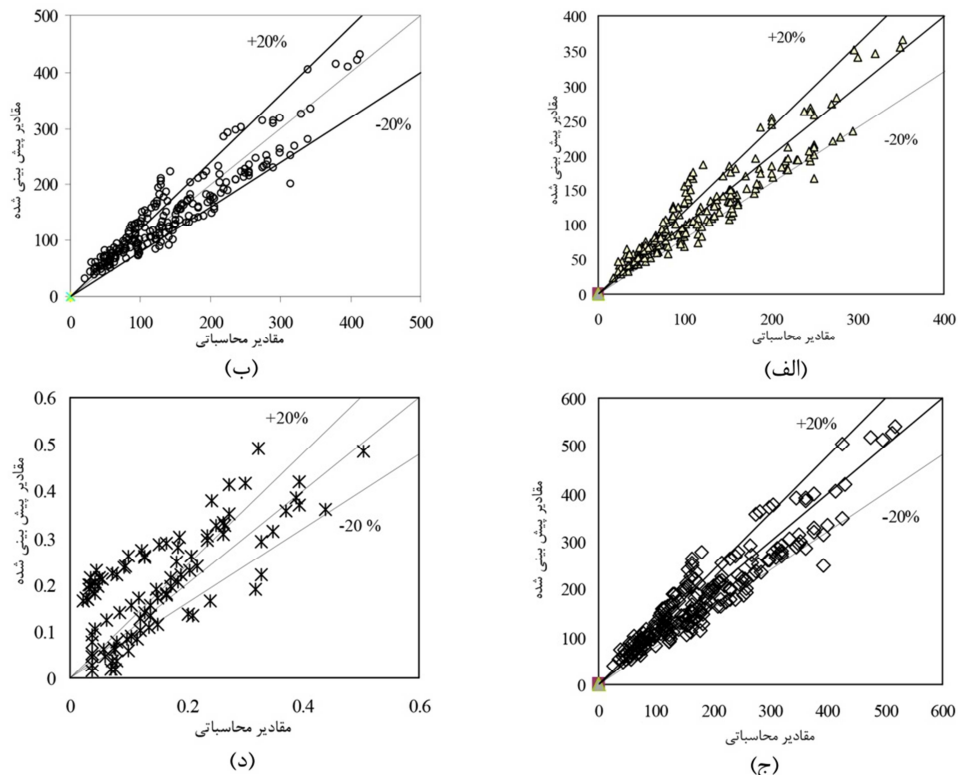
طول‌های نامبرده در منحنی تراژکتوری جت سطحی چگال را با دقت قابل قبولی پیش‌بینی نموده و ۲۰ درصد داده‌های محاسباتی در مقابل پیش‌بینی در نزدیکی خط ۴۵ درجه واقع شده‌اند.

۴- نتیجه‌گیری

در این تحقیق به بررسی جبهه‌ی پیش‌رونده و غلظت نهایی جریان جت سطحی در آب‌های عمیق پرداخته شد.

شکل ۷، مقادیر اندازه‌گیری شده هریک از پارامترهای فوق را در مقابل مقادیر متناظر محاسباتی برای کلیه آزمایش‌های انجام شده (داده‌های مربوط به استخراج و صحبت‌سنگی) نمایش می‌دهد. یکی از راهکارهای بررسی دقت معادلات آماری، استفاده از خط ۴۵ درجه و بررسی تغییرات مقادیر اندازه‌گیری در مقابل مقادیر محاسباتی است. این تغییرات در شکل ۷ بررسی شده است. مطابق با شکل ۷، مدل‌های آماری تخمین شده است. مطابق با شکل ۷، مدل‌های آماری تخمین

میزان غلظت خط مرکزی فلاکس جت، تحت اثر زاویه‌ی همگرایی نازل تخلیه‌کننده مورد ارزیابی قرار گرفت.

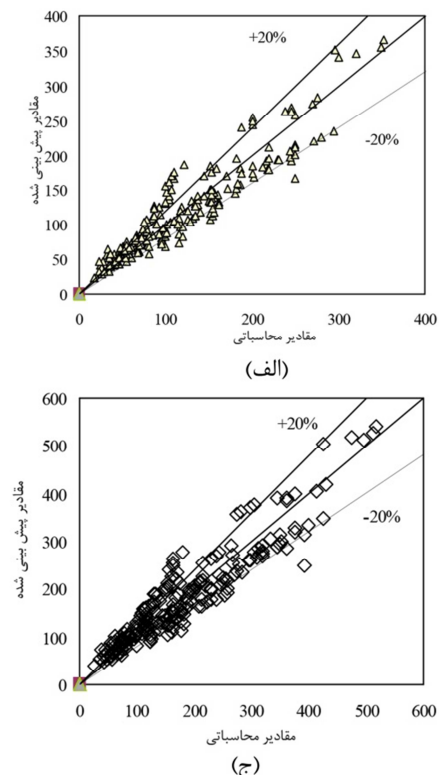


شکل ۷- مقادیر پیش‌بینی و اندازه‌گیری شده. (الف) بیشینه طول شیرجه، (ج) بیشینه طول مرز بالا و (د) غلظت نهایی.

نمودن هرچه بیشتر آلودگی از منبع تخلیه و ساحل رودخانه دارای اولویت می‌باشد، از این‌رو، استفاده از نازل‌های تخلیه‌کننده با زوایای بزرگ‌تر در اولویت می‌باشد.

در تکمیل پژوهش حاضر می‌توان پیشنهاداتی را برای مطالعات بعدی مطرح نمود. به عنوان مثال می‌توان به بررسی جریان جت سطحی در محیط‌های آبی کم عمق پرداخت. همچنین به جای استفاده از نازل‌های تخلیه‌کننده جریان دایره‌ای، از نازل با سایر اشکال هندسی استفاده نمود. استفاده نمودن از نازل‌های چندگانه به جای نازل منفرد می‌تواند نتایج بررسی‌های جبهه پیش‌رونده را تحت تأثیر قرار دهد. به علاوه بررسی‌هایی جهت کاهش همزمان غلظت جریان جت چگال و افزایش پیشروی هرچه بیشتر جبهه آلودگی صورت پذیرد.

کلیه پارامترهای جت سطحی شامل موقعیت نقطه شیرجه، بیشینه طول‌های مرز بالا و پایین و همچنین



بررسی‌های نهایی نشان داد که هرچه زاویه‌ی همگرایی نازل تخلیه‌کننده بیشتر و به ۹۰ درجه نزدیک‌تر شود، عملکرد تخلیه جهت دور نمودن جبهه جریان چگال از منبع تخلیه، مطلوب‌تر صورت می‌پذیرد. نتایج حاصل شده نشان داد که هرچه زاویه‌ی همگرایی نازل تخلیه‌کننده جریان افزایش یابد، جریان جت چگال پیشروی بیشتری دارد. به عبارت دیگر، جبهه آلودگی از محل تخلیه‌کننده فاصله بیشتری می‌گیرد که این موضوع از نظر زیست‌محیطی در تخلیه فاضلاب‌های سنگین و همچنین تخلیه پساب کارخانجات در دریاها و منابع آبی و دور نمودن آنها از سواحل دارای اهمیت است. از طرفی مشخص گردید با افزایش زاویه‌ی همگرایی، غلظت خط مرکزی منحنی پایین‌افتادگی جریان پیش‌رونده افزایش می‌یابد. اما از آنجاکه که در مساله آلودگی سواحل، دور

مراجع

- [1] Abessi, O., & Roberts, P. (2014). "Multiport Diffusers for Dense Discharges", *Hydraulic Engineering*, 140(8), 04014032.
- [2] Gungor, E., & Roberts, P.J.W. (2009). "Experimental studies on vertical dense jets in a flowing current", *Journal of Hydraulic Engineering*, 135(11), 935-948.
- [۳] احیدان، ج.، محمدی، ف.، بهرامی، ح. (۱۳۹۳). "بررسی اثر زاویه قائم و خصوصیات هیدرولیکی بر نحوه توزیع جریان جت غلظت منفرد با استفاده از مدل فیزیکی"، مجله علوم و فنون دریابی، دوره ۱۳، شماره ۱، ش.ص. ۵۱-۶۰.
- [4] De wit, L., Van Rhee, C., & Keetels, G. (2014). "Turbulent Interaction of a Buoyant Jet with Cross-Flow", *Journal of Hydraulic Engineering*, 140(12), 04014060.
- [5] Oliver, C.J., Davidson, M.J., & Nokes, R.I. (2013). "Predicting the Near-field Mixing of Desalination Discharges in a Station Environment", *Desalination*, 309, 148-155 .
- [6] Oliver, C.J., Davidson, M.J., & Nokes, R.I. (2013). "Removing the Boundary Influence on Negatively Buoyant Jets", *Environmental Fluid Mechanics*, 13, 625-648 .
- [7] Oliver, C.J., Davidson, M., & Nokes, R I. (2013). "Behavior of Dense Discharges Beyond the Return Point", *Journal of Hydraulic Engineering*, 139(12), 1304-1308.
- [8] Abessi, O., & Roberts, P.J. (2015). "Effect of Nozzle Orientation on Dense Jets in Stagnant Environments", *Journal of Hydraulic Engineering*, 141(8), 06015009.
- [9] Minguan, Y., Shengnan, X., Can, K., & Yuli, W. (2013). "Effect of Geometrical Parameters on Submerged Cavitation Jet Discharged from Profiled Central-body Nozzle", *Chinese Journal of Mechanical Engineering*, 26(3), 476-482.
- [10] Palomar, P., Lara, J.I., & Losada, I.J. (2012). "Near Field Brine Discharge Modeling Part2: Validation of Commercial Tools", *Desalination*, 290, 28-42.
- [11] Besalduch, L.A., Badas, M.G., Ferreri, S., & Querzoli, G. (2014). "On the near field behavior of inclined negatively buoyant jets", In *EPJ Web of Conferences* , 67, 02007.
- [12] Kheirkhah Gildeh, H., Mohammadian, A., Nistor, I., & Qiblawey, H. (2014). "Numerical Modeling of Turbulent Buoyant Wall Jets in Stationary Ambient Water", *Journal of Hydraulic Engineering*, 140(6), 04014012.
- [13] Dastgheib, S., Musavi-Jahromi, S.H., & Nowroozpour, A. (2013). "Predicting Hydraulic Properties of Circular Buoyant Jets in the Static Ambient Flow Using ANN and ANFIS", In *World Environmental and Water Resources Congress 2013*, 1880-1895.
- [۱۴] سلمان‌زاده، س.، احیدان، ج. (۱۳۹۵). "پراکنش حدی جریان جت خروجی در محیط هم‌فاز و غیرهم‌فاز"، مجله علوم و مهندسی آبیاری، دانشگاه شهید چمران اهواز، دوره ۳۹، شماره ۱، ش.ص. ۹۳-۷۰.
- [۱۵] سعیدی، م.، عابسی، ع.، علی‌آبادی فرهانی، آ. (۱۳۹۵). "پیش‌بینی رژیم‌های حاکم بر جریان تخلیه سطحی فاضلاب چگال در مقایسه با نتایج مدل شبیه‌ساز گرمیکس"، مجله علوم و تکنولوژی محیط زیست، دوره ۱۸، شماره ۳، ش.ص. ۱۴۳-۱۵۵.

S. Salmanzadeh*

M.Sc. Student, Faculty of Water Sciences and Engineering, Shahid Chamran University of Ahwaz.

e-mail: samira.salmanzade@yahoo.com

J. Ahadiyan

Associate Professor, Faculty of Water Sciences and Engineering, Shahid Chamran University of Ahwaz.

e-mail: Ja_ahadiyan@yahoo.com

The Investigation of Progressive Front and Superficial Jet Final Concentration in Deep Water

The ability how to predict concentration and pollution front progressing in receiving water resources is environmentally essential, especially adjacency to the water resources entrance. Hence, this study analyses the pollution progressive front and its rate of concentration affected by discharging nozzle with various convergence angles. In this research, the conduct of experiments schedule is based on geometrical and hydraulic variable effect. The main purpose of this study is to analyze the convergence angle of flow discharging nozzle. The results obtained, showed that the convergence angle of flow discharging nozzle increase from 15° to 90° degree has a remarkable impact on pollution front progressing increase. Data analysis showed that increase in dense fluid leads to 52 percent increase in concentration rate through the trajectory center line in comparison with initial concentration. Eventually, the jet flux center line concentration rate rises by 46 percent as convergence angle increases.

Keywords: Progressive front of pollution, Superficial jet, Convergence angle nozzle, Deep water, Final concentration of center line.

* Corresponding author